

] 10 5r •

KAWASAKI STEEL GIHO

Vol.10 (1978) No.4

(ç4ß(ò V ï3?IT \_ &gt; E • 2 – ¼ Ñ µ ï ¥ å ° ß i ÿ • ï b6ä\$î

Development of BOF Dynamic Control Technique

8ä#ä \*O (Yoshiharu Iida) ä • 6 (Kanji Emoto) 7' < Å j (Akihiko Nanba)  
 J , e 7 (Hideo Take) u# ä (Tsuyoshi Tsuchida) 9 x « (Hideyuki  
 Takahashi) ` ] G ¾ (Masakatsu Ogawa) p2 ° (Shigeru Nakaji) Q#ä ä#è  
 (Yasuo Masuda)

0[ " :

È å0 5r d \_ > 8 Z>\* § È Ü å « †#Ý 8 Z ï6 p b3?IT!T AE"g # † K>\* Q b **c** b ï6  
 364( † Ý G M • 2 – ¼ Ñ µ ï D š • ï l>\* ï6 ) ø%\$ **c** ½!T M • G \^ C § å È Ü å ø †  
 /œ :!“ ½!T i • ï †& 'g K S G € } b • ï b6ä\$î b ï – å ° c b \> ~ [ 6 • >&>/>'  
 - å § È ß i È b+- .%T+: µ S † < S9x TM8— ö † w M • 2+- . § È Ü å «/æ\*( b6ä\$î  
 >&>0>'9x(- Ø [ P5ð!c(ò ð Ø † M • S u b - å § È ß i È>\* > | g ú 2 ^ § å È Ý †  
 “ • S u b § å È Ü å ø È ß i È b6ä\$î >&>1>' D š(- Ø b, 8 2 – ¼ Ñ µ ï D š Ø 1 Ý b  
 6ä\$î #’ ~ § È Ü å «/æ\*( c 99># è V b9x' >"á †)T å K>\* Ø\$× p"á 95>#>!c(ò ð Ø\$×  
 p"á c9x!c(ò5ð [ v 87># b ò B)¼ † > I u Z 8 •

Synopsis :

A BOF dynamic control system has been established at Mizushima Works, whereby temperature and C content of molten steel during blowing are measured by the sublance to permit a good end-point control through modification, as required, of the subsequent blowing conditions, and a sampling system is made possible immediately at blow end without tilting the furane. Major points of these technical developments are as follows: a full-automatic and reliable sublance mechanism including setting and removing a sensor probe; a sensor probe for measuring bath temperature and C content with high accuracy, and a sampling probe for obtaining suitable sample; a dynamic control model with high accuracy. At present, the availability of sublance system is above 99%, and such high hit rate as 95% for temperature and 87% for C content are attained even in blowing high carbon steels.

(c)JFE Steel Corporation, 2003

UDC 53.08 + 62.51:669.184.232.142  
669.184.23:669.184.235.012.1

純酸素上吹転炉における  
ダイナミックコントロール技術の開発

Yoshiharu Iida Kanji Emoto

難波明彦\*\*\* 武英雄\*\*\*

土田剛\*\*\*\*\* 高橋英幸\*\*\*\*\*  
Tsuyoshi Tsuchida Hideyuki Takahashi

小川正勝\*\*\*\*\* 中路茂\*\*\*\*\*  
Masakatsu Ogawa Shigeru Nakaji

増田康男\*\*\*\*\*  
Yasuo Masuda

## 1. 緒 言

転炉製鋼法は炉内反応が急速で生産性が高いが、それだけに吹鍊終点の溶鋼の温度や成分、特に炭素濃度を目標に的中させることは容易でなく、またこの的中率が転炉の生産能力に大きな影響を及ぼすため、終点制御に関して多大の努力が払われてきた。当社においては、転炉導入の初期から物質バランスと熱バランスを基礎としたスタッティック制御モデルが考案され、今日もなお吹鍊制御の基礎となっているが、このモデルはあくまでも

へ連続的に投入できる自動投入装置を完成し、吹止溶鋼温度の的中を目的としたダイナミック制御法のオンライン化に成功した<sup>2)</sup>。これにより吹止溶鋼温度的中率はスタティック制御のみと比べ10~15%向上した。

しかし、溶鋼炭素濃度を含めた終点同時的中率を飛躍的に向上させるためには、吹鍊中に炉内溶鋼の直接サンプリングおよび測温を可能とするサブランスマルチプローブの開発が不可欠であるとの結論に達し、1971年初めより水島製鉄所においてその開発に着手した。設備として十分にその機能を發揮するためには、測定プローブの着脱を自動化すること

1. プローブの取り扱い  
2. サブランスマルチプローブの開発  
3. ダイナミック制御法のオンライン化  
4. ダイナミック制御法の実用化

吹鍊過程の変化に追従できず、的中率にはおのずから限界がある。そこで水島製鉄所では、吹鍊中に炉内の反応状況を把握し、その情報に基づいて吹鍊軌道を修正する、いわゆるダイナミック制御の開発を進め、サブランスマルチプローブによるダイナミック制御技術および無倒炉操業技術を確立した。

本報では、その開発経緯およびサブランスマルチプローブの概要を述べる。

## 2. 転炉吹鍊制御技術の開発経緯

サブランスマルチプローブ自動着脱機能を含めた完全自動サブランスマルチプローブの開発を進め、1972年末に試作1号機を設置し、1974年6月には完全自動設備を完成した。さらに、溶鋼炭素濃度を決定する良好な凝固温度波形を得るために測定プローブやダイナミック制御モデルの開発によりダイナミック制御技術が確立した。

現在、水島製鉄所では6基の転炉すべてにサブランスマルチプローブを設置しており、吹止溶鋼温度的中率

は約95%、吹止溶銑炭素濃度の的中率は高炭素鋼( $C > 0.3\%$ )でも約87%の成績を収めている。ま

Table 2 Out-line of steelmaking plant at Mizushima Works

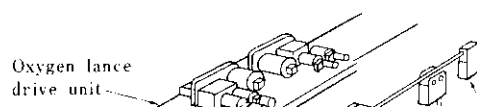
Steelmaking and Desulfurization

1. Lの白山市(日本) 田代川河口、北緯40°、東経135°

ある。千葉製鉄所第2製鋼工場は、排ガス処理設備としてヒートボイラ (Wagner biro type) を備

にプローブを装着するロボット方式であるので、  
装着時にプローブを破損する恐れがなく、確実な

当サブランス設備を容易に設置することができた。(3) 測定サイクルタイムが短い。転炉の大きさお  
(2) サブランスへのプローブ装着の信頼性が高い。よりサブランス設備のレイアウトに上りこのサイ



クルタイムは異なるが、水島製鉄所の場合、プローブ回収無しの場合82s、プローブ回収の場合95s

昇降速度は、低速、高速の2段速度で十分である。  
したがって、2台の交流誘導電動機にトリガ機能を

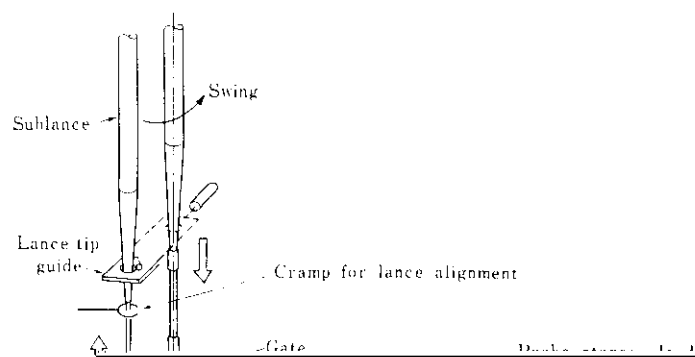
である。実験目的で連続的に測定する場合有利である。

十分満足できる。なお測定中の停電事故に対処するため、非常上昇専用に直流電動機を配備した。

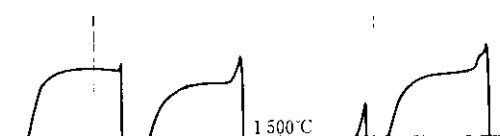
(1) 大きな容量のプローブ吸着装置を設置でき (2) 水平移行装置

炉真上に設置する必要がないので容量に関する自由度が大きい。

転炉炉口真上の測定位置と炉口から離れた位置に設置されているプローブ着脱装置の間で、サブ



吹鍊中に使用される中間測定用プローブは、溶鋼温度および炭素濃度を精度よく測定できなければならぬ。特に、溶鋼炭素濃度を正確に測定するためには、温度計測機器の精度が高いために、



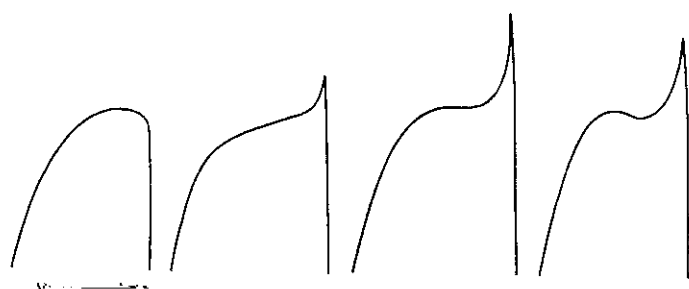


Fig. 6 Pattern of cooling curve

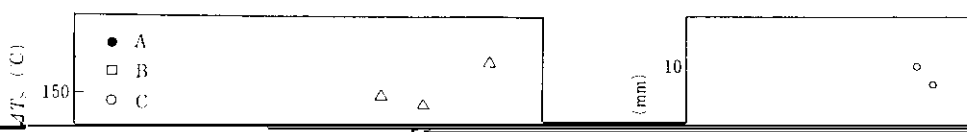


TABLE 4 Data of regression equation between  $T_s$  ( $^{\circ}$ C) and analyzed carbon content [%C]

Cooling pattern	Regression of [%C] on $T_s$	Standard deviation (%)

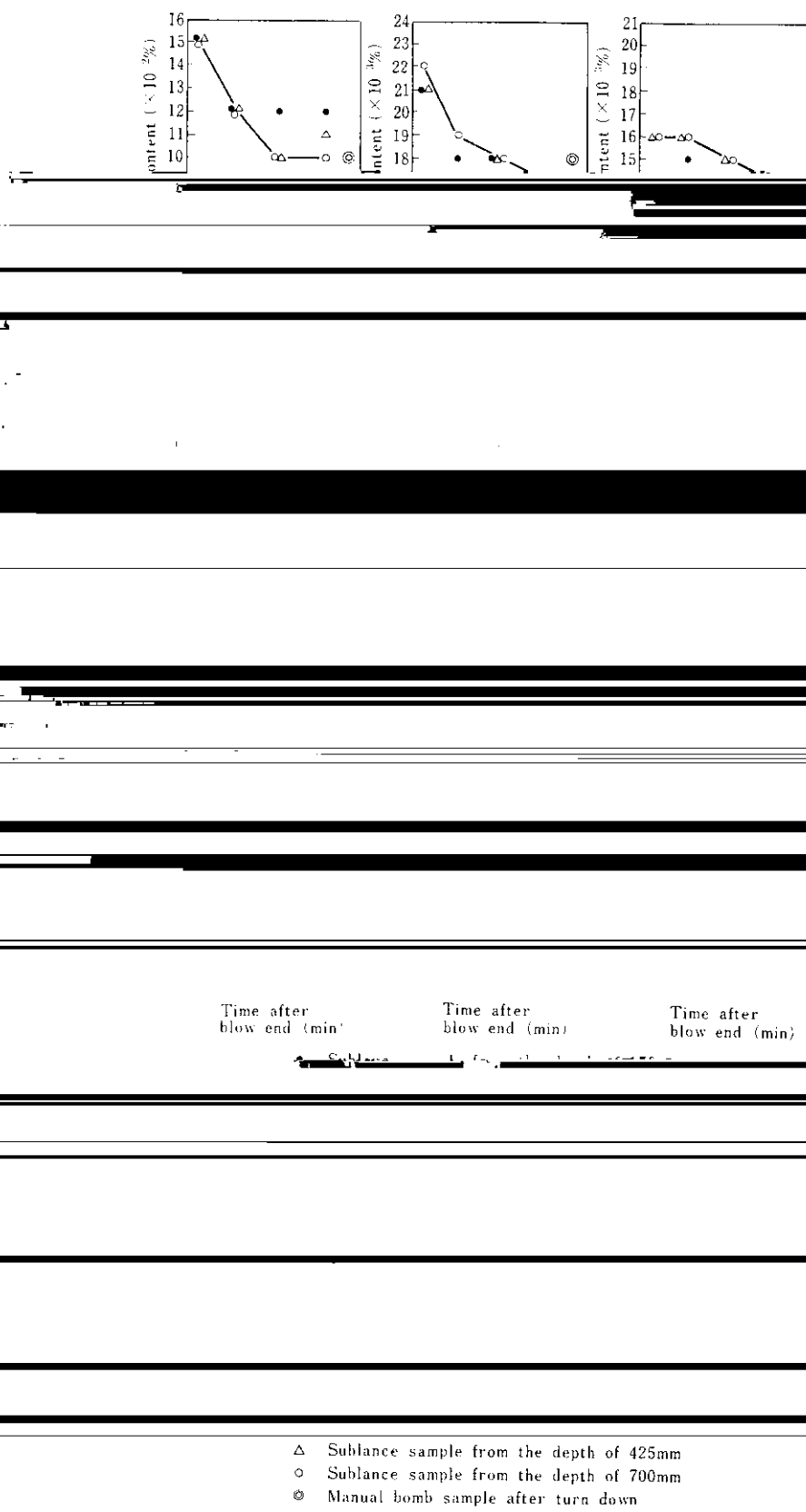


Fig. 9 Change of C, P, S content after blow end

Calculation of

Blow start

$G$  : 補正回帰関数  
 $\alpha$  : 補正項

$r$  : 定 数  
昇温速度  $H(Y)$  は DCP により富別された温度

## 8. 結 言

軸とした測定技術を確立しつつあり、近い将来単なる吹鍊のプログラム化による自動吹鍊にとどまらず、時々刻々の炉内情報を把握し、吹鍊開始か

吹鍊中の炉内反応の進行状況を知る手段の一つから終点までを総合的にダイナミック制御する自動